

ДВИЖЕНИЕ ТОНКОГО СЛОЯ ВЯЗКОЙ ЖИДКОСТИ ПО СУХОЙ ПОВЕРХНОСТИ

С. М. Шугрин

Институт гидродинамики им. М. А. Лаврентьева СО РАН, 630090 Новосибирск

Формулируется задача о движении тонкого слоя вязкой жидкости по сухой поверхности (без учета поверхностного натяжения). Приводятся примеры расчетов. Делается сравнение с решением по соответствующей одномерной модели, которая допускает точное решение. Анализируются особенности решения.

1. Уравнения. Уравнения тонкого слоя вязкой жидкости (длинноволновое приближение) без учета поверхностного натяжения имеют вид [1] (рис. 1)

$$\frac{\partial u}{\partial t} + u \frac{\partial u}{\partial x} + v \frac{\partial u}{\partial z} + g \frac{\partial(h \cos \theta)}{\partial x} = \nu \frac{\partial^2 u}{\partial z^2} + g \sin \theta; \quad (1.1)$$

$$\frac{\partial u}{\partial x} + \frac{\partial u}{\partial z} = 0, \quad (1.2)$$

где $u = u(t, x, z)$; $v = v(t, x, z)$; $h = h(t, x)$; $0 \leq z \leq h$; $0 \leq x \leq l(t)$; $x \sim l(t) \Rightarrow h \sim 0$.

Уравнения (1.1), (1.2) дополняются краевыми условиями [1]:
на твердой поверхности ($z = 0$)

$$u = v = 0; \quad (1.3)$$

на свободной поверхности ($z = h$)

$$\frac{\partial u}{\partial z} = 0, \quad \frac{\partial h}{\partial t} + u \frac{\partial h}{\partial x} = v. \quad (1.4)$$

Модель (1.1)–(1.4) далее называется двумерной.

Условия и особенности в точке контакта свободной и твердой поверхностей обсуждаются ниже. При $x = 0$ задается $u = \varphi(t, z)$, при $t = 0$ $u = u_0(x, z)$, $h = h_0(x)$. Предполагается, что $u > 0$.

Распределение скорости u по z при задании начального и краевого условий берется по параболическому закону.

2. Одномерная модель. Прежде чем обсуждать особенности модели (1.1)–(1.4), полезно рассмотреть одномерную модель. Принимая, что распределение скорости при $z \geq 0$ соответствует параболическому закону, и интегрируя (1.1), (1.2) по z от $z = 0$ до $z = h$, придем к уравнениям [2–4]

$$\frac{\partial h}{\partial t} + \frac{\partial(hU)}{\partial x} = 0; \quad (2.1)$$

$$\frac{\partial(hU)}{\partial t} + \frac{\partial}{\partial x} \left(\frac{6}{5} hUU + \frac{gh^2}{2} \cos \theta \right) = gh \sin \theta - \frac{3\nu U}{h} \quad \left(U = \frac{q}{h}, \quad q = \int_0^h u dz \right). \quad (2.2)$$

Обратим внимание на наличие особенности в члене, описывающем трение: при $h \sim 0$ и $U \neq 0$ трение становится бесконечно большим. Эта особенность решающим образом определяет характер свободной поверхности вблизи точки контакта с твердой поверхностью.

Система (2.1), (2.2) допускает простое и полезное точное решение (ранее аналогичное решение было найдено в гидравлике [4]). Пусть

$$U = \text{const} > 0 = gH^2 \sin \theta / (3\nu), \quad \theta > 0.$$

Введем безразмерные величины:

$$\tilde{x} \equiv \frac{x}{h}, \quad \tilde{t} = \frac{t}{T}, \quad \tilde{h} \equiv \frac{h}{H}, \quad \tilde{U} \equiv \frac{U}{V}, \quad T = \frac{H}{V}, \quad \tilde{V} = g\bar{H}^2 \frac{\sin \theta}{3\nu}, \quad \text{т. е. } \tilde{U} = 1.$$

Полагая $\xi \equiv \tilde{x} - \tilde{t}$, имеем $h = h(\xi)$. В данном случае удобно также взять

$$\text{Re} \equiv \frac{UH}{\nu} = \frac{gH^3}{3\nu^2} \sin \theta. \quad (2.3)$$

В итоге находим

$$-A\tilde{h} + \frac{A-1}{2} \ln(1+\tilde{h}) - \frac{1+A}{2} \ln(1-\tilde{h}) = -\frac{15}{\text{Re}} (\xi - \xi_0) = -\frac{15}{\text{Re}} (\tilde{x} - \tilde{x}_0) - \tilde{t}_0, \quad A \equiv \frac{15}{i\text{Re}}. \quad (2.4)$$

3. Особенности и условия в точке контакта. Предполагая, что при $x < l(t)$ имеем $U(t, x) > 0$ (функция U гладкая), естественное краевое условие в точке контакта $x = l(t)$ запишем в виде

$$x \rightarrow l \Rightarrow h \rightarrow 0, \quad \frac{dl}{dt} = \lim_{x \rightarrow l} U. \quad (3.1)$$

Из (2.4) следует, что при $\tilde{h} \sim 0$

$$\frac{d\tilde{h}}{d\tilde{x}} \sim \frac{1}{\sqrt{|\tilde{l} - \tilde{x}|}}, \quad \tilde{h} \sim \sqrt{|\tilde{l} - \tilde{x}|}. \quad (3.2)$$

Особенность (3.2) для (2.1), (2.2) носит общий характер. Действительно, пусть при $x < l$ функция U гладкая и $\lim_{x \rightarrow l} U = \hat{U} > \alpha$ ($\alpha = \text{const} > 0$). Согласно (3.1), $dl/dt = \hat{U} > 0$.

Учитывая (2.1) и сохраняя в (2.2) главные члены при $h \sim 0$, имеем

$$\frac{\partial h}{\partial t} + \hat{U} \frac{\partial h}{\partial x} = 0, \quad \frac{1}{5} \hat{U} \hat{U} h \frac{\partial h}{\partial t} \sim -3\nu \hat{U},$$

откуда

$$h \sim \sqrt{\frac{30\nu|l-x|}{\hat{U}}}, \quad \frac{\partial h}{\partial t} \sim \sqrt{\frac{15\nu}{\hat{U}}} \frac{1}{|l-x|}. \quad (3.3)$$

Для двумерной модели (1.1)–(1.4) с помощью нестрогих соображений также была получена особенность типа (3.2). При этом существенно, что в окрестности точки контакта $U(x) > \alpha$ ($\alpha = \text{const} > 0$). Поскольку рассуждения, приводящие к (3.2), весьма нестроги, предпочтительнее их опустить и рассматривать (3.2) как правдоподобную гипотезу, подтверждаемую вычислительным экспериментом (рис. 2 и пример 1).

По-видимому, при отсутствии поверхностного натяжения особенность (3.2) имеет место и для двумерных уравнений Навье — Стокса при условии, что в окрестности точки контакта $x = l(t)$ с твердой поверхностью выполнено условие

$$U(x) = \frac{1}{h} \int_0^h u dz > 0 \quad (x < l) \quad (3.4)$$

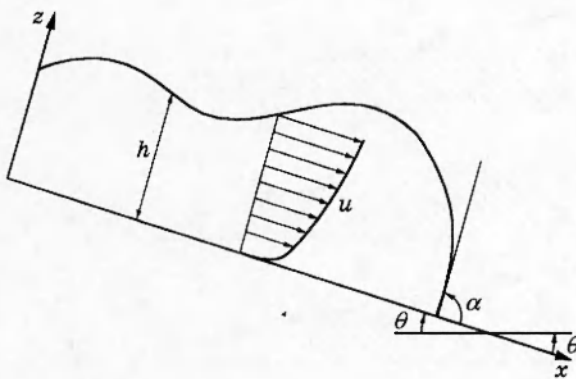


Рис. 1



Рис. 2

(граница движется вправо). Во всех этих случаях при отсутствии поверхностного натяжения и выполнении в окрестности точки контакта условия (3.4) естественное краевое условие аналогично (3.1), т. е. имеет вид

$$x \rightarrow l \Rightarrow h \rightarrow 0, \quad \frac{dl}{dt} = \lim_{x \rightarrow l} U. \quad (3.5)$$

Если жидкость в среднем оттекает от точки контакта, т. е. в окрестности точки $x = l(t)$ выполнено условие, противоположное (3.4):

$$U(x) = \frac{1}{h} \int_0^h u dz \leqslant 0 \quad (x < l), \quad (3.6)$$

то, вероятнее всего, точка контакта полностью приклеивается к твердой поверхности, т. е. (3.5) следует заменить условием

$$x \rightarrow l(t) \Rightarrow h \rightarrow 0, \quad \frac{dl}{dt} = 0. \quad (3.7)$$

Итак, граничное условие в рассмотренных случаях при отсутствии поверхностного натяжения оказывается однотипным: если в окрестности точки контакта верно (3.4), то ставится условие (3.5), а если верно (3.6), то ставится (3.7).

Кроме того, если $\lim_{x \rightarrow l} U > 0$ и в окрестности точки контакта функция $U(x, t)$ гладкая, то имеется особенность типа (3.2). Таким образом, угол α между свободной и твердой поверхностями равен $\pi/2$.

При численной реализации задачи условия (3.4)–(3.7) не очень удобны. Поэтому в расчетах делалось следующее: при $t = 0$ и $x \geq l(0)$ задавалось $h = \varepsilon > 0$, т. е. «наливался» слой жидкости весьма малой глубины ($\varepsilon > 0$), после чего использовалась техника сквозного счета (для двумерной модели — в сочетании с методом расщепления). Но здесь также возникают определенные вычислительные трудности, поскольку характерные размеры разностной сетки в области основного течения при $x < l$ и в области «налитой» жидкости при $x > l$ резко разнятся; трудности преодолевались с помощью неявных разностных схем, изложенных в [5].

Этот вычислительный прием «налитого» малого слоя по физическим соображениям представляется корректным при отсутствии поверхностного натяжения. Однако при наличии последнего его корректность вызывает серьезные сомнения.

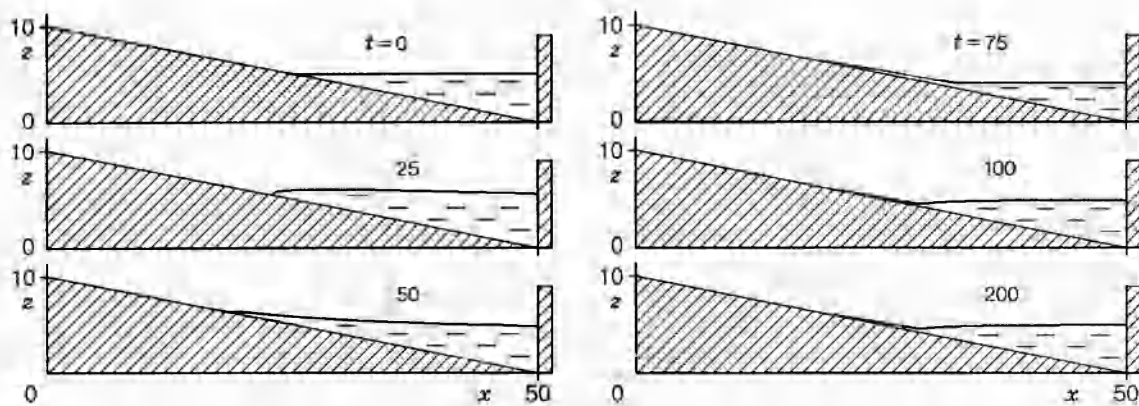


Рис. 3

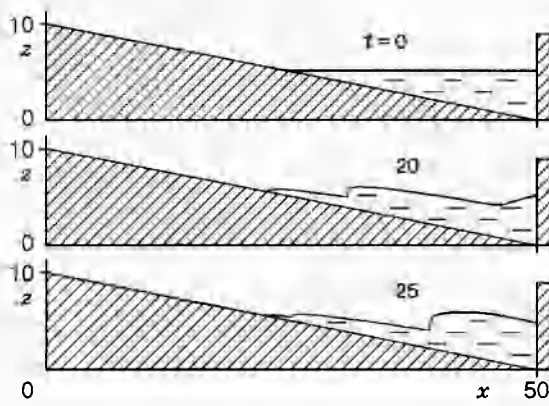


Рис. 4

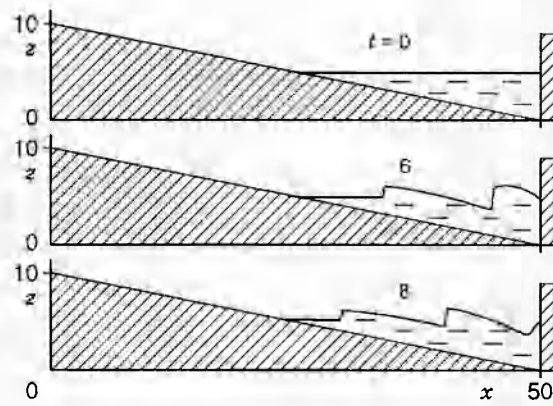


Рис. 5

ЗАМЕЧАНИЕ. Из сказанного ясно, что введение поверхностного натяжения радикально меняет ситуацию. При точном учете поверхностного натяжения и сохранении условия прилипания (1.3) двумерная модель тонкого слоя (1.1), (1.2) при наличии контакта свободной и твердой поверхностей, как представляется, является физически и математически некорректной.

Для двумерных уравнений Навье — Стокса было доказано [6], что при $0 < \alpha < \pi$ (см. рис. 1) условия на свободной поверхности и условия прилипания несовместимы. Однако ситуации $\alpha = 0$ и $\alpha = \pi$, по-видимому, все же для полных уравнений Навье — Стокса физически возможны. Если $\alpha = 0$, то при $x \sim l$ жидкость катится по твердой поверхности, как колесо (это, в частности, означает в конечном счете существование особенности у вихря ω при $z \rightarrow 0, x \rightarrow l(t)$). При $\alpha = \pi$ точка контакта, вероятнее всего, приклеивается к твердой стенке, так что в этом случае $dl/dt = 0$ и $\lim_{x \rightarrow l} u = 0$.

Из-за трудностей, связанных с совмещением условий прилипания и условий на свободной поверхности при учете поверхностного натяжения, в ряде работ условия прилипания так или иначе заменяются условиями проскальзывания, что математически регуляризирует задачу (см., например, [5, 6]). Однако физическая корректность этого приема не вполне ясна.

4. Примеры расчетов. Приведем примеры расчетов для двумерной модели (1.1)–(1.4).

ПРИМЕР 1. Сопоставление двумерной и одномерной моделей. Для одномерной модели было построено точное решение (2.4), имеющее точки контакта свободной и твердой поверхностей с углом касания $\alpha = \pi/2$. Представляет интерес сопоставление этого решения с расчетом по двумерной модели. При $\tilde{t} = 0$ и $\tilde{x} \leq 100$ (в безразмерных переменных) начальный профиль $h(x)$ брался в соответствии с (2.4), при $\tilde{x} > 100$ $\tilde{h}_0 = \varepsilon = 0,001$, при этом $Re = 10$ (см. (2.3)). Сопоставление решений при $\tilde{t} = 150$ приведено на рис. 2. Наблюдается хорошее совпадение всюду, за исключением фронта волны, хотя при этом время добегания по обеим моделям практически совпадает.

Расхождение на фронте, по-видимому, свидетельствует о некоторой неточности одномерной модели (2.1), (2.2), вероятно, из-за того, что постулат параболичности распределения скорости на фронте волны не вполне точен.

ПРИМЕР 2. Набегание волны на берег. На рис. 3–5 приведены примеры расчета набегания волны на берег по двумерной модели. При $x = 50$ задавался следующий закон изменения отметки свободной поверхности: $\tilde{z} = \tilde{z}_0 + A \sin 2\pi \tilde{t}/T_0$. При большом периоде ($T_0 = 100$) волна мягко набегает на берег и мягко стекает (рис. 3). С уменьшением периода T_0 образуется последовательность прерывных волн (бурунов). На рис. 4 приведен пример расчета при $T_0 = 10$. Судя по проделанным расчетам, при дальнейшем уменьшении T_0 и/или росте амплитуды A количество бурунов увеличивается (рис. 5).

Работа выполнена при финансовой поддержке Российского фонда фундаментальных исследований (код проекта 96-01-01546).

ЛИТЕРАТУРА

1. Алексеенко С. В., Накоряков В. Е., Покусаев Б. Г. Волновое течение пленок жидкости. Новосибирск: Наука, 1992.
2. Шкалов В. Я. Волновые режимы течения тонкого слоя вязкой жидкости под действием силы тяжести // Изв. АН СССР. Механика жидкости и газа. 1967. № 1. С. 43–51.
3. Шкалов В. Я. К теории волновых течений тонкого слоя вязкой жидкости // Изв. АН СССР. Механика жидкости и газа. 1968. № 2. С. 20–25.
4. Пивоваров Ю. В. Расчет течений вязкой несжимаемой жидкости, частично заполняющей вращающуюся полость // Проблемы вычислительной математики / А. Ф. Воеводин, В. В. Остапенко, С. М. Шугрин, Ю. В. Пивоваров. Новосибирск: Изд-во СО РАН, 1995. Гл. 5. С. 127–154.
5. Пухначев В. В., Солонников В. А. К вопросу о динамическом краевом угле // ПММ. 1982. Т. 46, вып. 6. С. 961–971.
6. Пухначев В. В., Байокки К. Задача с односторонними ограничениями для уравнений Навье — Стокса и проблема динамического краевого угла // ПМТФ. 1990. № 2. С. 27–40.